

## РАСЧЕТ ХАРАКТЕРИСТИК ПИРАМИДАЛЬНОГО ПЕРЕХОДА ТЕМ-КАМЕРЫ

© 2007 Н.Л.Казанский<sup>1</sup>, Е.А.Рахаева<sup>2</sup>

<sup>1</sup> Институт систем обработки изображений РАН, г. Самара

<sup>2</sup> Самарский государственный аэрокосмический университет

С использованием многомодовых матриц рассеяния рассчитаны электрические характеристики пирамидального перехода для ТЕМ-камеры. Определены условия, обеспечивающие заданную точность вычисления элементов многомодовой матрицы рассеяния.

### Введение

Для проведения испытаний электронных компонентов и систем на электромагнитную совместимость при воздействии на них электромагнитных полей большой амплитуды используются ТЕМ-камеры [1], состоящие из регулярной части и двух пирамидальных переходов (рис. 1).

Регулярная часть ТЕМ-камеры представляет собой полосковую линию передачи с центральным проводником 1 и наружным экраном прямоугольного сечения 2. Для согласования геометрических размеров регулярной части ТЕМ-камеры с разъемами генератора и нагрузки 3 на ее входе и выходе включены согласующие пирамидальные переходы 4, обеспечивающие постоянство волнового сопротивления по всей длине ТЕМ-камеры.

Объект испытаний 5 помещается в середину регулярной части ТЕМ-камеры, где электромагнитное поле имеет минимальную неравномерность и не содержит продольных составляющих. Генератор, пирамидальные переходы 4 и согласованная нагрузка обес-

печивают в регулярной части ТЕМ-камеры режим бегущей волны, которая имитирует электромагнитную волну в открытом пространстве.

Требование высокой однородности поля в месте расположения испытуемого объекта при его больших габаритах вынуждает применять ТЕМ-камеры с большими размерами поперечного сечения регулярной части. Однако при больших поперечных размерах ТЕМ-камеры в ее регулярной части на некоторых частотах могут распространяться кроме основного и высшие типы волн [2], которые могут стать причиной возникновения резонансных явлений в ТЕМ-камере [3]. В этом случае равномерность поля в регулярной части в месте расположения испытуемого объекта нарушается, и результаты проведения испытаний становятся недостоверными.

Целью работы является расчет электрических характеристик пирамидального перехода ТЕМ-камеры. Результаты расчета электрических характеристик актуальны для исследования частотных параметров

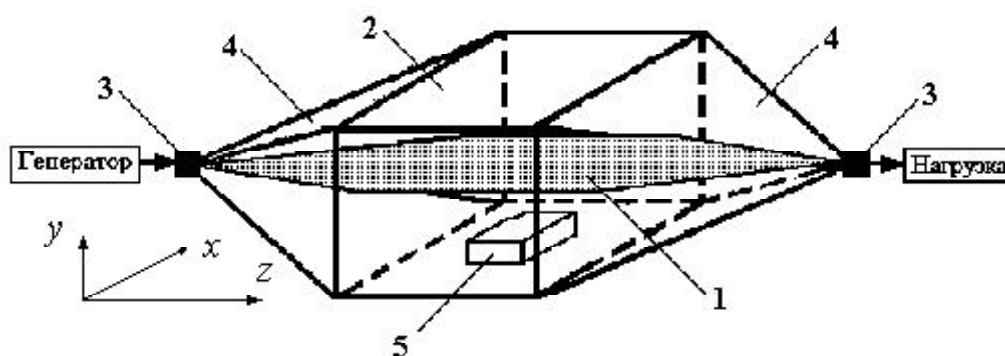


Рис. 1. Конструкция ТЕМ-камеры

ТЕМ-камеры, установленной в Дирекции по техническому развитию ОАО “АВТОВАЗ”, имеющей габариты 18 x 8 x 27 м<sup>3</sup> и предназначенной для проведения испытаний транспортных средств на электромагнитную совместимость на частотах свыше 10 КГц.

Для расчета электрических характеристик нерегулярных линий передач применялся метод с использованием многомодовых матриц рассеяния [4]. В соответствии с этим методом пирамидальный переход, который является нерегулярной линией передачи, представлялся в виде каскадного соединения регулярных отрезков линии передачи и неоднородностей в виде скачков геометрических размеров поперечного сечения линии передачи.

### Расчет многомодовой матрицы рассеяния неоднородности в виде скачка параметров линии передачи

Рассмотрим неоднородность в полосковой линии передачи в виде скачка геометрических размеров (рис. 2).

При падении электромагнитной волны на неоднородность вблизи нее возбуждается весь спектр собственных волн линии передачи, по которым можно определить многомодовую матрицу рассеяния.

В [5] описан метод расчета многомодовой матрицы рассеяния неоднородности в виде скачка геометрических размеров в полосковой линии на основе строгого решения задачи дифракции электромагнитной волны методом частичных областей. В соответствии с этим методом рассмотрим две линии пере-

дачи 1 и 2 с разными геометрическими размерами и электродинамическими параметрами заполняющих сред (рис. 2).

При падении на неоднородность слева электромагнитную волну в 1-ой линии передачи можно представить в виде суперпозиции ее собственных  $N$  волн.

$$\begin{cases} \dot{\vec{E}} = \sum_{n=1}^N \dot{A}_n \cdot \dot{\vec{e}}_{1n}(x, y) \cdot \exp(-i\gamma_{1n}z), \\ \dot{\vec{H}} = \sum_{n=1}^N \dot{A}_n \cdot \dot{\vec{h}}_{1n}(x, y) \cdot \exp(-i\gamma_{1n}z), \end{cases}$$

где  $\dot{A}_n$ ,  $\gamma_{1n}$ ,  $\dot{\vec{e}}_{1n}$ ,  $\dot{\vec{h}}_{1n}$  – соответственно комплексная амплитуда, продольное волновое число и составляющие электрического и магнитного полей  $n$ -го собственного типа волны в 1-ой линии передачи.

Такая волна на неоднородности частично отражается и частично проходит во вторую линию передачи. Выражения для составляющих полей в первой линии передачи  $\vec{E}_1$ ,  $\vec{H}_1$  можно записать в виде суперпозиции падающих и отраженных волн, а во второй линии передачи – в виде прошедших волн  $\vec{E}_2$ ,  $\vec{H}_2$ .

$$\begin{cases} \dot{\vec{E}}_1 = \sum_{n=1}^N \dot{A}_n \dot{\vec{e}}_{1n}(x, y) \cdot \exp(-i\gamma_{1n}z) + \sum_{n=1}^{\infty} \dot{B}_n \dot{\vec{e}}_{1n}(x, y) \cdot \exp(i\gamma_{1n}z), \\ \dot{\vec{H}}_1 = \sum_{n=1}^N \dot{A}_n \dot{\vec{h}}_{1n}(x, y) \cdot \exp(-i\gamma_{1n}z) - \sum_{n=1}^{\infty} \dot{B}_n \dot{\vec{h}}_{1n}(x, y) \cdot \exp(i\gamma_{1n}z), \end{cases} \quad (1)$$

$$\begin{cases} \dot{\vec{E}}_2 = \sum_{n=1}^{\infty} \dot{C}_n \dot{\vec{e}}_{2n}(x, y) \cdot \exp(-i\gamma_{1n}z), \\ \dot{\vec{H}}_2 = \sum_{n=1}^{\infty} \dot{C}_n \dot{\vec{h}}_{2n}(x, y) \cdot \exp(-i\gamma_{1n}z). \end{cases} \quad (2)$$

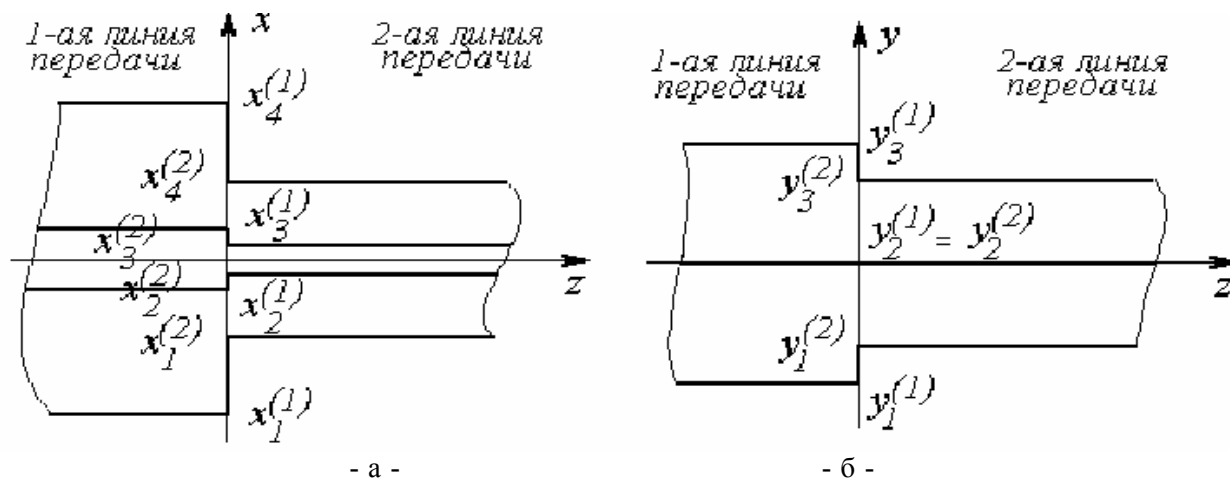


Рис. 2. Скачок геометрических размеров в полосковой линии передачи

В этих выражениях  $\dot{B}_n, \dot{C}_n$  - комплексные амплитуды соответственно отраженных и прошедших  $n$ -ых собственных типов волн в 1-ой и 2-ой линиях передачи.

В плоскости скачка параметров линии передачи при  $z = 0$  должны выполняться граничные условия для составляющих электрического и магнитного полей, касательных плоскости скачка

$$\dot{E}_{1\tau} = \dot{E}_{2\tau} \text{ при } \begin{cases} x \in [x_1^{(2)}, x_4^{(2)}], \\ y \in [y_1^{(2)}, y_3^{(2)}], \end{cases} \quad (3)$$

$$\dot{H}_{1\tau} = \dot{H}_{2\tau} \text{ при } \begin{cases} x \in [x_1^{(1)}, x_4^{(1)}], \\ y \in [y_1^{(1)}, y_3^{(1)}], \end{cases} \quad (4)$$

$$\dot{E}_{1\tau} = \dot{E}_{2\tau} = 0 \text{ при } \begin{cases} x \in [x_1^{(1)}, x_1^{(2)}] \cup [x_4^{(2)}, x_4^{(1)}], y = [y_1^{(1)}, y_3^{(1)}], \\ x \in [x_1^{(2)}, x_4^{(2)}], y = [y_3^{(2)}, y_3^{(1)}] \cup [y_1^{(1)}, y_1^{(2)}]. \end{cases} \quad (5)$$

Подставляя соотношения (1), (2) в (3), (4), получим систему уравнений для касательных составляющих полей

$$\begin{cases} \sum_{n=1}^N \dot{A}_n \dot{e}_{1n}(x, y) + \sum_{n=1}^{\infty} \dot{B}_n \dot{e}_{1n}(x, y) = \sum_{n=1}^{\infty} \dot{C}_n \dot{e}_{2n}(x, y), \\ \sum_{n=1}^N \dot{A}_n \dot{h}_{1n}(x, y) - \sum_{n=1}^{\infty} \dot{B}_n \dot{h}_{1n}(x, y) = \sum_{n=1}^{\infty} \dot{C}_n \dot{h}_{2n}(x, y). \end{cases} \quad (6)$$

Применяя условие ортогональности собственных типов волн к уравнениям системы (6) и используя граничное условие (5), получим систему линейных алгебраических уравнений, связывающую амплитуды отраженных ( $B_1, B_2, \dots, B_n, \dots$ ) и прошедших ( $C_1, C_2, \dots, C_n, \dots$ ) волн с падающими ( $A_1, A_2, \dots, A_n$ ), которую в матричной форме можно записать в виде

$$\begin{bmatrix} a_{11} & a_{12} & a_{13} & \dots \\ a_{21} & a_{22} & a_{23} & \dots \\ a_{31} & a_{23} & a_{33} & \dots \\ \dots & \dots & \dots & \dots \end{bmatrix} \begin{bmatrix} \dot{B}_1 \\ \dot{B}_2 \\ \dot{B}_3 \\ \dots \end{bmatrix} = \begin{bmatrix} b_{11} & b_{12} & \dots & b_{1N} \\ b_{21} & b_{22} & \dots & b_{2N} \\ b_{31} & b_{32} & \dots & b_{3N} \\ \dots & \dots & \dots & \dots \end{bmatrix} \begin{bmatrix} \dot{A}_1 \\ \dot{A}_2 \\ \dots \\ \dot{A}_N \end{bmatrix}, \quad (7)$$

$$\begin{bmatrix} c_{11} & c_{12} & c_{13} & \dots \\ c_{21} & c_{22} & c_{23} & \dots \\ c_{31} & c_{23} & c_{33} & \dots \\ \dots & \dots & \dots & \dots \end{bmatrix} \begin{bmatrix} \dot{C}_1 \\ \dot{C}_2 \\ \dot{C}_3 \\ \dots \end{bmatrix} = \begin{bmatrix} d_{11} & d_{12} & \dots & d_{1N} \\ d_{21} & d_{22} & \dots & d_{2N} \\ d_{31} & d_{32} & \dots & d_{3N} \\ \dots & \dots & \dots & \dots \end{bmatrix} \begin{bmatrix} \dot{A}_1 \\ \dot{A}_2 \\ \dots \\ \dot{A}_N \end{bmatrix}, \quad (8)$$

где

$$a_{kn} = \delta_{kn} + \sum_{i=1}^{\infty} b_{ni} c_{ki}, \quad (9)$$

$$b_{kn} = \delta_{kn} - \sum_{i=1}^{\infty} b_{ni} c_{ki}, \quad (10)$$

$$c_{kn} = \delta_{kn} + \sum_{i=1}^{\infty} b_{ik} c_{in}, \quad (11)$$

$$d_{kn} = 2 \cdot c_{kn}.$$

$\delta_{kn}$  – единичная дельта-функция,

$$\delta_{kn} = \begin{cases} 0 & \text{при } k \neq n \\ 1 & \text{при } k = n, \quad k = 1, 2, 3, \dots, \infty, \end{cases}$$

$$b_{nk} = \frac{1}{N_{2k}} \int_{S_1} \left[ \dot{e}_{1n}(x, y) \vec{h}_{2k}^*(x, y) \right] \vec{1}_z dS,$$

$$c_{nk} = \frac{1}{N_{1k}} \int_{S_2} \left[ \dot{e}_{1n}(x, y) \vec{h}_{2k}^*(x, y) \right] \vec{1}_z dS,$$

$$N_{jn} = \int_{S_j} \left[ \dot{e}_{jn}(x, y) \vec{h}_{jk}^*(x, y) \right] \vec{1}_z dS, \quad j = 1, 2.$$

Система уравнений (7) и (8) связывает амплитуды  $N$  собственных типов волн в 1-ой линии передачи  $\dot{A}_1, \dot{A}_2, \dots, \dot{A}_N$ , падающих на неоднородность, с бесконечным числом собственных типов волн, отраженных от неоднородности с амплитудами  $\dot{B}_1, \dot{B}_2, \dot{B}_3, \dots$ , и прошедших во вторую линию передачи волн с амплитудами  $\dot{C}_1, \dot{C}_2, \dot{C}_3, \dots$ .

При этом амплитуды собственных типов волн  $\dot{A}_1, \dot{A}_2, \dots, \dot{A}_N$ , падающих на неоднородность, считаются заданными, а амплитуды отраженных  $\dot{B}_1, \dot{B}_2, \dot{B}_3, \dots$  и прошедших  $\dot{C}_1, \dot{C}_2, \dot{C}_3, \dots$  волн – неизвестными.

Бесконечную систему линейных алгебраических уравнений (7) и (8) можно решить методом редукции. Из решения этой системы уравнений можно найти элементы многомодовой матрицы рассеяния [4]. Для вычисления  $j$ -го столбца многомодовой матрицы рассеяния в соотношения (7) и (8) следует подставлять следующие значения амплитуд волн, падающих на неоднородность:  $A_j = 1, A_l = 0, l = 1, 2, \dots, \infty, l \neq j$ .

Элементы матрицы рассеяния будут определяться отношением амплитуд отраженной  $B_i$  и прошедшей  $C_i$  волн к амплитуде падающей волны  $A_j$

$$S_{11}^{(ij)} = \frac{B_i}{A_j}, \quad S_{21}^{(ij)} = \frac{C_i}{A_j},$$

где  $i = 1, 2, \dots, \infty, j = 1, 2, \dots, N$ .

Применяя эту процедуру для значе-

ний  $j = 1, 2, \dots, N$ , можно найти элементы матрицы рассеяния  $S_{11}^{(ij)}$ ,  $S_{21}^{(ij)}$ .

Для определения элементов многомодовой матрицы рассеяния  $S_{12}^{(ij)}$ ,  $S_{22}^{(ij)}$  необходимо решить аналогичную изложенной выше задачу о возбуждении волн неоднородностью для случая, когда волна на нее падает справа.

### Результаты расчета многомодовой матрицы рассеяния неоднородности в виде скачка геометрических размеров в полосковой линии

Ниже в качестве примера приведены результаты расчета многомодовой матрицы рассеяния для неоднородности в виде скачка геометрических размеров в полосковой линии (рис. 2) с параметрами

$$\begin{aligned} x_4^{(1)} &= -x_1^{(1)} = 9000 \text{ мм}, \\ x_3^{(1)} &= -x_2^{(1)} = 5600 \text{ мм}, \\ y_2^{(1)} &= y_2^{(2)} = 0, \\ y_3^{(1)} &= -y_1^{(1)} = 4000 \text{ мм}, \\ x_4^{(2)} &= -x_1^{(2)} = 8500 \text{ мм}, \\ x_3^{(2)} &= -x_2^{(2)} = 5150 \text{ мм}, \\ y_3^{(2)} &= -y_1^{(2)} = 3750 \text{ мм}, \\ \varepsilon_1 &= \varepsilon_2 = 1, \quad \mu_1 = \mu_2 = 1. \end{aligned}$$

При таких геометрических размерах линий передач в них на частотах менее 7 МГц распространяющимся является только один собственный тип волны, на частотах менее 30 МГц – 7 собственных типов волн [2].

При суммировании рядов в соотношениях (9) – (11) число членов ряда ограничивалось условием, что дальнейшее увеличение числа членов ряда не изменяло все элементы матрицы рассеяния на величину, превышающую значение 0,0001.

Из анализа рассчитанных матриц рассеяния следует, что с наибольшей амплитудой основной тип волны в линии передачи возбуждает пятый тип волны. Это обусловлено тем, что структура поля пятого типа волны в наибольшей степени подобна структуре основного типа волны [6]. На рис.3 приведены структуры электрического (а, в) и магнитного (б, г) полей первого (а, б) и пятого (в, г) собственных типов волн линии передачи.

Из представленных структур полей видно, что в центральной области линии передачи направления силовых линий электрического и магнитного полей совпадают.

При изменении частоты и геометрических размеров линий передачи значения элементов многомодовой матрицы рассеяния изменяются. На рис. 4 приведены частотные зависимости элементов матрицы рассеяния.

Из представленных частотных зависимостей модулей элементов матрицы рассеяния следует, что в диапазоне частот до 17,5 МГц модуль коэффициента передачи для основного типа волны  $|S_{21}^{(11)}|$  монотонно уменьшается. На частоте 17,5 МГц возникают условия распространения для 5-го собственного типа

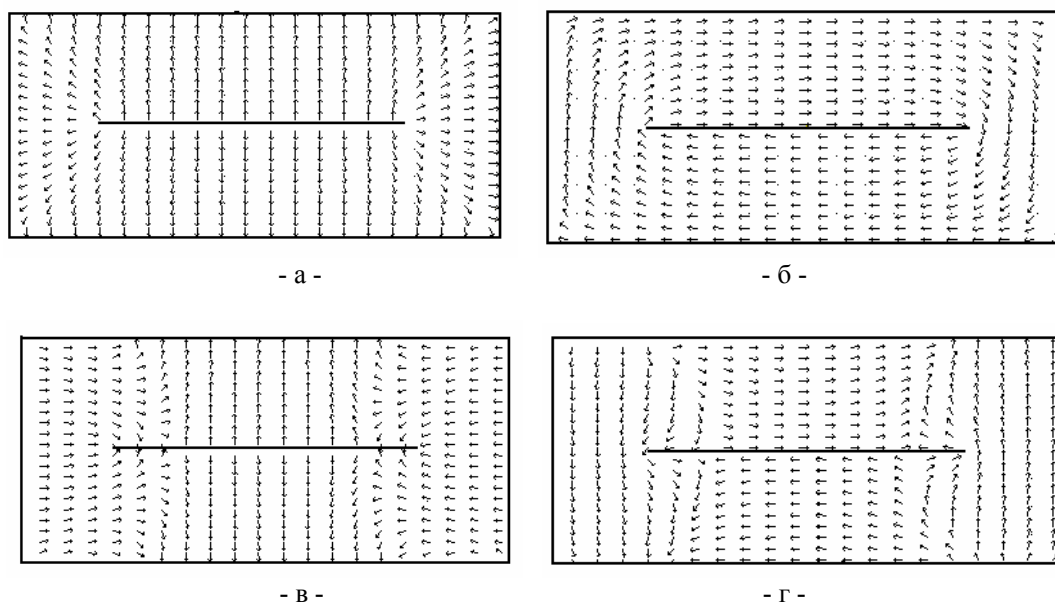


Рис. 3. Структуры электрического (а, в) и магнитного (б, г) полей первого (а, б) и пятого (в, г) собственных типов волн

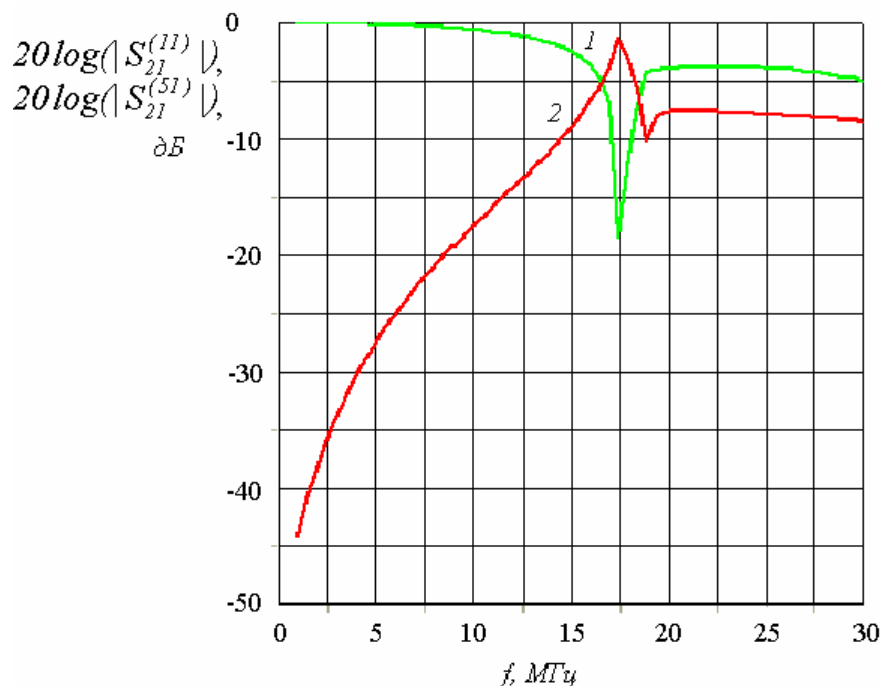


Рис. 4. Частотные зависимости элементов матрицы рассеяния

$20 \log(|S_{21}^{(11)}|)$  (кривая 1) и  $20 \log(|S_{21}^{(51)}|)$  (кривая 2)

волны, имеющего большую амплитуду, и на графике зависимости коэффициента передачи для основного типа волны  $|S_{21}^{(11)}|$  появляются изломы. Возбуждающиеся на других частотах остальные собственные типы волн на частотную зависимость коэффициента передачи по основной моде  $|S_{21}^{(11)}|$  не влияют из-за их малой амплитуды.

### Результаты расчета пирамидального перехода для ТЕМ-камеры

С использованием полученных численных результатов расчета многомодовых матриц рассеяния неоднородностей в виде скачков геометрических размеров полосковой линии и выражения для матрицы рассеяния регулярных отрезков линии передачи [4] были рассчитаны частотные зависимости элементов матрицы рассеяния пирамидального перехода, изображенного на рис. 5 и имеющего геометрические размеры

$$\begin{aligned} x_4^{(1)} &= -x_1^{(1)} = 9000 \text{ мм}, \\ x_3^{(1)} &= -x_2^{(1)} = 5600 \text{ мм}, \\ y_2^{(1)} &= -y_1^{(1)} = 4000 \text{ мм}, \\ x_4^{(2)} &= -x_1^{(2)} = 490 \text{ мм}, \\ x_3^{(2)} &= -x_2^{(2)} = 350 \text{ мм}, \\ y_2^{(2)} &= -y_1^{(2)} = 292 \text{ мм}, \\ z_0 &= 10360 \text{ мм}. \end{aligned}$$

Для этого использовался метод расчета нерегулярных линий передачи на основе многомодовой матрицы рассеяния [4]. Переход моделировался  $N$  регулярными линиями одинаковой длины и  $N + 1$  неоднородностями в виде скачков геометрических размеров.

Для определения необходимого числа регулярных линий  $N$ , аппроксимирующих пирамидальный переход, рассчитывались модули элементов многомодовой матрицы рассеяния  $|S_{11}^{(11)}|$ ,  $|S_{11}^{(51)}|$  на частотах 5 МГц и 20 МГц, при которых в участке пирамидального перехода с наибольшими геометрическими размерами обеспечивались соответственно одномодовый и многомодовый режимы.

На рис. 6 представлены рассчитанные зависимости модулей коэффициента отражения  $|S_{11}^{(11)}|$  и  $|S_{11}^{(51)}|$  от числа регулярных отрезков  $N$ .

Из представленных результатов следует, что увеличение числа регулярных отрезков  $N$  свыше 10 мало влияет на элементы многомодовой матрицы рассеяния. Аналогичные зависимости от числа разбиений имеют и другие модули элементов многомодовой матрицы рассеяния. С наибольшей амплитудой основной первый тип волны возбуждает в пирамидальном переходе 5-ый собственный тип волны.

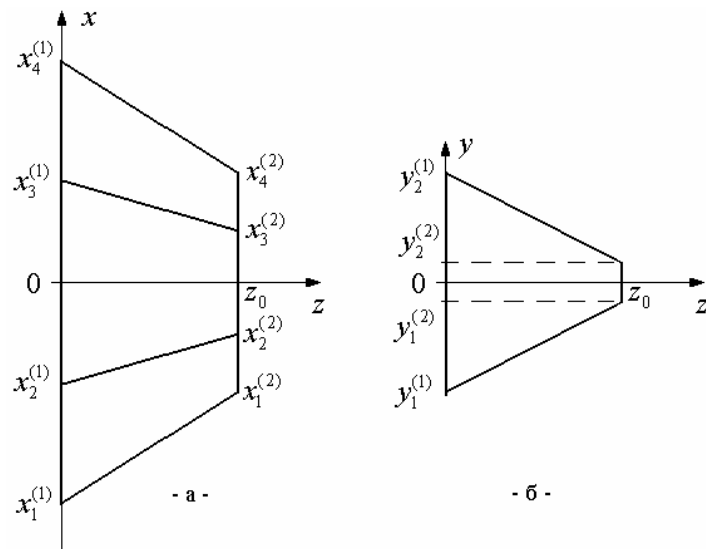


Рис. 5. Вид сверху (а) и сбоку (б) на пирамидальный переход в ТЕМ-камере

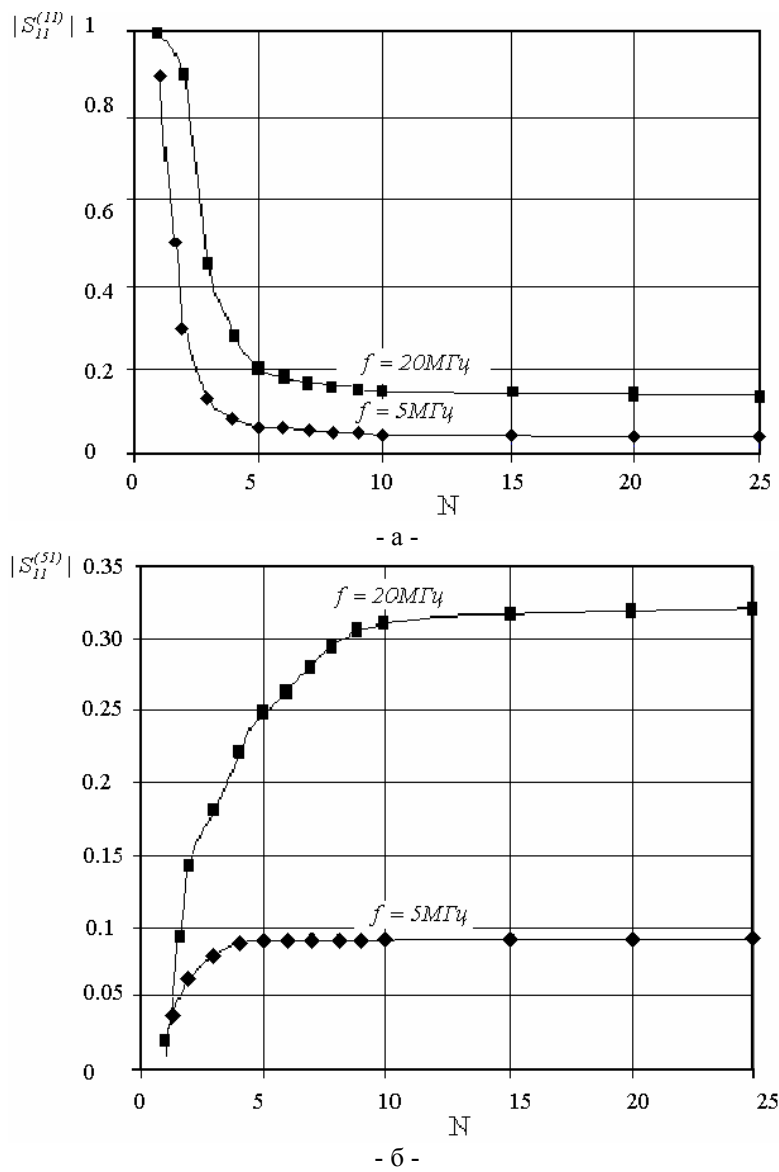


Рис. 6. Зависимость модулей элементов многомодовой матрицы рассеяния  $|S_{11}^{(11)}|$  и  $|S_{11}^{(51)}|$  от числа регулярных отрезков  $N$

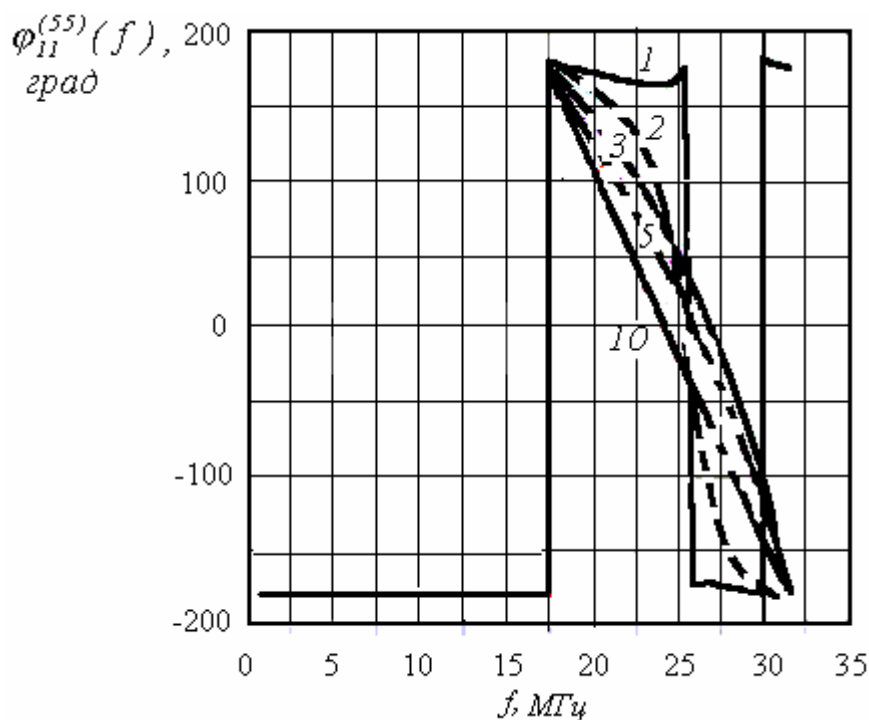


Рис. 7. Частотная зависимость фазы коэффициента отражения 5-го типа волны  $\varphi_{11}^{(55)}(f)$ .

Цифры у кривых – число регулярных отрезков линий передач  $N$

Частотная зависимость фазы коэффициента отражения для пятого типа волны  $\varphi_{11}^{(55)}$  при различном числе разбиений  $N$  представлена на рис. 7.

Из представленных зависимостей видно, что в диапазоне частот 5-17.5 МГц фаза коэффициента отражения 5-го высшего типа волны постоянна и равна  $-180^\circ$ . Это обусловлено тем, что анализируемая структура в этом диапазоне частот не допускает распространение данного типа волны. По мере увеличения частоты свыше 17.5 МГц в пирамидальном переходе критическое сечение [8], которое разделяет область с распространяющимися и затухающими волнами, смещается внутрь перехода, и вносимый фазовый сдвиг изменяется.

Закон изменения фазового сдвига от частоты также зависит от числа разбиений  $N$ . По мере увеличения числа разбиений частотная зависимость фазы коэффициента отражения стабилизируется, и при увеличении числа разбиений  $N$  свыше 10 не приводит к изменению частотной зависимости фазы коэффициента отражения 5-го собственного типа волны.

### Заключение

Рассчитана и проанализирована много-модовая матрица рассеяния пирамидального

перехода ТЕМ-камеры. Определены условия, обеспечивающие заданную точность вычисления элементов многомодовой матрицы рассеяния. Полученные результаты использованы для расчета частотной характеристики ТЕМ-камеры [7].

### Благодарности

Работа выполнена при финансовой поддержке Российско-американской программы “Фундаментальные исследования и высшее образование” (“BRHE”, CRDF Project RUX0-014-SA-06) и Российского фонда фундаментальных исследований (гранты №№ 07-07-97601-р\_офи, 06-07-08074-офи).

### СПИСОК ЛИТЕРАТУРЫ

1. Crawford M.L. Generation of Standard EM Fields Using TEM Transmission Cells//IEEE Transactions on Electromagnetic Compatibility. 1974. Vol. EMC-16, no. 4.
2. Казанский Н.Л., Подлинов Г.А., Рахаева Е.А., Саржин М.А., Рахаев А.А. Расчет характеристик электромагнитного поля в ТЕМ-камере//В сб. “Восьмая Российская научно-техническая конференция “Электромагнитная совместимость технических средств и электромагнитная безопас-

- ность"/Санкт-Петербург: ЛЭТИ. 2004.
3. *Rakhaeva E.A., Kazansky N.L., Podlypnov G.A., Rakhaev A.A., Suhov V.V., Sarzhin M.A.* Research of resonance effects in TEM-cell// 7-th international symposium on electromagnetic compatibility and electromagnetic ecology/Saint-Petersburg. 2007.
  4. *Казанский Н.Л., Рахаева Е.А.* Расчет характеристик нерегулярных линий передач// Антенны. 2007. №10.
  5. *Микроэлектронные устройства СВЧ/Г.И. Веселов, Е.Н. Егоров, Ю.Н. Алёхин и др.*// Под ред. *Веселова Г.И.* М.: Высшая школа, 1988.
  6. *Kazansky N.L., Podlypnov G.A., Rakhaeva E.A., Sarzhin M.A.* Calculation of electromagnetic field characteristics in TEM-cell//6-th International symposium on electromagnetic compatibility and electromagnetic ecology. 2005.
  7. *Казанский Н.Л., Рахаева Е.А.* Расчет частотных характеристик TEM-камеры// Компьютерная оптика. 2007. Т.31. №3.
  8. *Митрохин В.Н.* Изменение адиабатического инварианта на критических сечениях неоднородных волноводов//Вестник МГТУ, сер. Приборостроение. 1990, №1.

### CALCULATION OF PYRAMIDAL TAPERS CHARACTERISTICS TEM-CELL

© 2007 N.L. Kazansky<sup>1</sup>, E.A. Rakhaeva<sup>2</sup>

<sup>1</sup> Image Processing Systems Institute of Russian Academy of Sciences, Samara

<sup>2</sup> Samara State Aerospace University

Using multimode scattering matrixes electric characteristics of pyramidal taper for TEM-cell are calculated. Conditions for specified accuracy of multimode matrix elements are determined.